

Electrónica de Potência

Sérgio Santos, N.º: 1020881

2 de Julho de 2020

Conteúdo

1	Suponha o transformador ideal, com a relação de transformação entre enrolamentos de 1 : 1 e que o ângulo de disparo dos tirístores é aos 100° graus.	2
1.1	Determine o ângulo e o tempo de condução γ de cada tiristor (especifique a expressão da corrente e determine o tempo de condução com a ajuda do Excel1);	2
1.2	Identifique e determine a constante de tempo do circuito.	3
1.3	Desenhe numa folha anexa a forma de onda da tensão na carga (V_L) e uma possível forma de onda para a corrente (I_L) com os respectivos regimes transitório e permanente.	3
1.4	Determine o valor médio da tensão V_{Lo} , na carga;	3
1.5	Especifique o integral que lhe permite determinar o valor eficaz da corrente I_{Lrms} na carga (não necessita calcular o integral, na aula mas faça-o em casa);	4
1.6	Considerando $I_{Lrms} = 6$ A, determine a potência dissipada na carga;	4
1.7	Utilizando o Excel represente a potência atribuída à carga $p(t)$ e determine o factor de potência FP . Nota: $p(t) = v(t).i(t)$ e $P = V.I.\cos\phi$	4
1.8	Supondo que existe uma f.c.e.m ($E = 100v$) represente as formas de onda da corrente (I_L) e tensão (V_L) na carga.	4
1.9	Suponha que substitui os tirístores por díodos (montagem PD2) e que a montagem apresenta uma f_{cem} ($E = 100v$). Desenhe numa folha anexa a forma de onda da tensão na carga (V_L) e uma possível forma de onda para a corrente (I_L).	4
2	PSIM	4
2.1	Simule os circuitos referidos da aula anterior ($P2$ e $PD2$) para confirmar todos resultados determinados (apresente todas as ondas incluindo os impulsos às gates dos tirístores).	4
3	Equações	1
3.1	Corrente Contínua Condições iniciais nulas.	1
3.1.1	Circuito LC em $C.C$:	1
3.1.2	Circuito RLC em $C.C$:	1
3.2	Corrente Alternada condições iniciais nulas.	2
3.2.1	Circuito RLE em $C.A$:	2
3.3	Definições	3

Montagens *P2* e *PD2*.

Considere a seguinte montagem *P2* da Figura 2 Suponha V_s = tensão da rede eléctrica nacional (230V 50Hz).

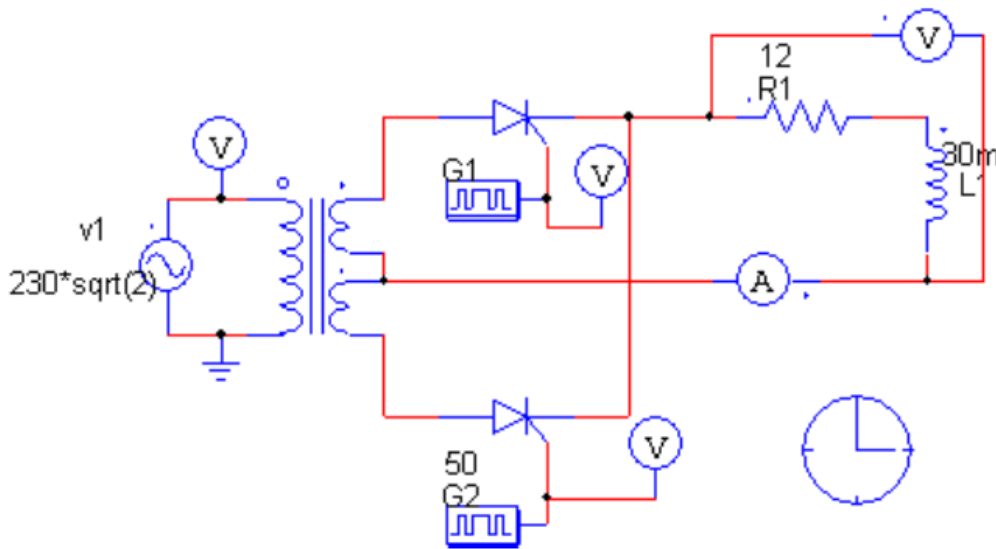


Figura 1: Montagem paralela dupla controlada

1 Suponha o transformador ideal, com a relação de transformação entre enrolamentos de 1 : 1 e que o ângulo de disparo dos tirístores é aos 100° graus.

$$R = 12\Omega; \quad L = 30 \times 10^{-3}\text{H}$$

Dados passivos do circuito, como constitui de os elementos RL em serie, podemos adquirir a constante de tempo $\tau = \frac{L}{R}$ a sua impedância $\vec{Z} = R + j\omega L$ e o desfazamento de regime permanente $\phi_p = \arctan(\frac{\omega L}{R})$.

Nos é dado o ângulo de disparo de $\alpha = 100^\circ$ graus e que o circuito tem alimentação da rede eléctrica, daqui sabemos que a frequência é de 50Hz e $V_{\text{máx}} = 230$ da senoide. Respetivamente adquirimos a velocidade angular $\omega = 2\pi 50 \text{ rad/sec}$.

Com o ângulo de disparo podemos calcular o avanço da corrente em regime transitório para isso ωt é calculado para $C_T e^{\frac{R}{\omega L} \omega t} = -\frac{V_{\text{máx}}}{Z} \sin(\omega t + \alpha - \phi)$ no intervalo $[0, 2\pi]$ como demonstra na secção 3. $\omega t = 1,99219957 \approx 1,990$ radianos, e a corrente é positiva no intervalo respetivo $0^\circ \leq \omega t \leq 114,019^\circ$ em referência ao disparo.

$\phi_n \approx 0,596$ radianos de avanço no regime transitório. E $\phi_p \approx 0,666$ radianos no regime permanente mas neste caso só nos interessa o transitório.

Mais coisas a considerar é que os tirístores são alimentados por fontes em oposição de fase, isto quer dizer que os disparos devem estar desfazados de π radianos e ter disparo com ângulo superior a ϕ_n . O sincronismo dos disparos é crucial para um bom controlo, pois se o segundo tiristor disparar enquanto o primeiro esta em condução dentro do intervalo $[0, \pi]$ o segundo tiristor não entra em condução, mas se o disparo é efetuado no intervalo de $[\pi, \pi + \phi_n]$ este entrara em sobrecarga, pois as condições iniciais não serão nulas.

1.1 Determine o ângulo e o tempo de condução γ de cada tiristor (especifique a expressão da corrente e determine o tempo de condução com a ajuda do **Excel1**);

Representação gráfica do primeiro disparo, o segundo disparo sera exatamente igual, em que a onda sinusoidal em vez de começar nos 0 radianos ira começar nos π radianos.

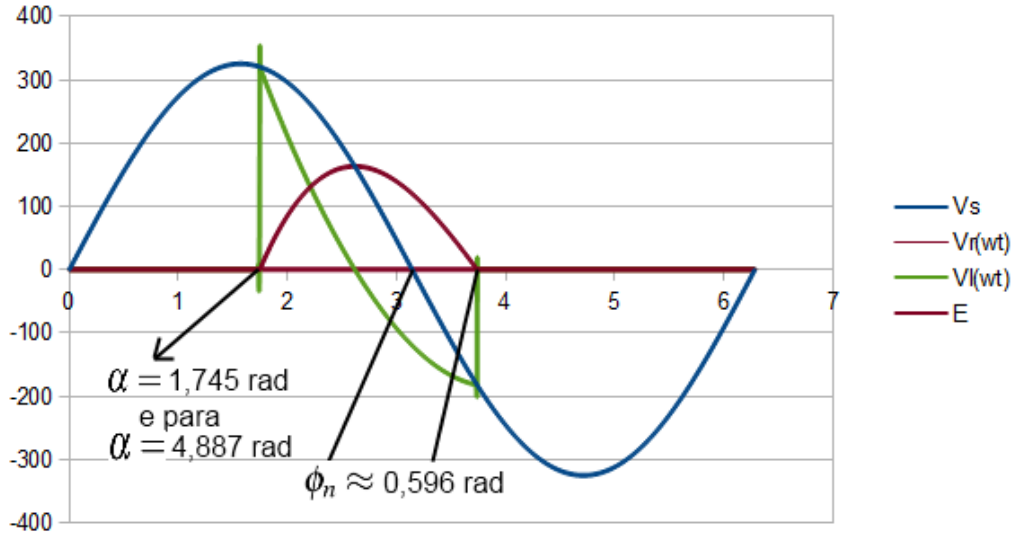


Figura 2: Representação das tensões

O primeiro tiristor irá conduzir de $\alpha \approx 1,745$ rad até $\pi + \phi_n \approx 3,738$ rad, e o segundo tiristor irá conduzir de $\approx 4,887$ rad até $2\pi + \phi_n \approx 6,879$ rad.

Cada tiristor conduz $\gamma \approx 1,993$ rad, que em segundos será $t_c \approx 6,34$ ms num ciclo. A expressão da corrente é como demonstrado na seção 3, com $E = 0$, isto é,

$$I(\omega t) = \frac{V_{m\acute{a}x}}{\bar{Z}} \sin(\omega t + \alpha - \phi_p) - \frac{V_{m\acute{a}x}}{\bar{Z}} \sin(\alpha - \phi_p) e^{-\frac{R}{L\omega} \omega t} \quad (1)$$

1.2 Identifique e determine a constante de tempo do circuito.

$$\tau = \frac{L}{R} = 2,5ms \quad (2)$$

1.3 Desenhe numa folha anexa a forma de onda da tensão na carga (V_L) e uma possível forma de onda para a corrente (I_L) com os respetivos regimes transitório e permanente.

1.4 Determine o valor médio da tensão V_{Lo} , na carga;

A média é sempre calculada para um ciclo, onde o integral de zero é zero,

$$V_{Loav} = \frac{1}{T} \int_0^T V_L(t) dt \quad (3)$$

$$V_L(t) = L \frac{di_L(t)}{dt} \quad (4)$$

$$= L \left(\frac{R V_{m\acute{a}x}}{\bar{Z} L} \sin(\alpha - \phi_p) e^{-\frac{R}{L} t} + \frac{\omega V_{m\acute{a}x}}{\bar{Z}} \cos(\omega t + \alpha - \phi_p) \right)$$

$$= \frac{R V_{m\acute{a}x}}{\bar{Z}} \sin(\alpha - \phi_p) e^{-\frac{R}{L} t} + \frac{\omega L V_{m\acute{a}x}}{\bar{Z}} \cos(\omega t + \alpha - \phi_p)$$

$$V_L(\omega t) = \frac{R V_{m\acute{a}x}}{\bar{Z}} \sin(\alpha - \phi_p) e^{-\frac{R}{\omega L} \omega t} + \frac{\omega L V_{m\acute{a}x}}{\bar{Z}} \cos(\omega t + \alpha - \phi_p) \quad (5)$$

$$V_{Loav} = \frac{1}{\pi + \phi_n - \alpha} \int_0^{\pi + \phi_n - \alpha} V_L(\omega t) dt \Big|_{\alpha \approx 1,745} \quad (6)$$

- 1.5** Especifique o integral que lhe permite determinar o valor eficaz da corrente I_{Lrms} na carga (não necessita calcular o integral, na aula mas faça-o em casa);
- 1.6** Considerando $I_{Lrms} = 6$ A, determine a potência dissipada na carga;
- 1.7** Utilizando o **Excel** represente a potência atribuída à carga $p(t)$ e determine o factor de potência FP .
Nota: $p(t) = v(t) \cdot i(t)$ e $P = V \cdot I \cdot \cos \phi$.
- 1.8** Supondo que existe uma f.c.e.m ($E = 100$ v) represente as formas de onda da corrente (I_L) e tensão (V_L) na carga.
- 1.9** Suponha que substitui os tirístores por díodos (montagem PD2) e que a montagem apresenta uma *f.c.e.m* ($E = 100$ v). Desenhe numa folha anexa a forma de onda da tensão na carga (V_L) e uma possível forma de onda para a corrente (I_L).

2 PSIM

- 2.1** Simule os circuitos referidos da aula anterior ($P2$ e $PD2$) para confirmar todos resultados determinados (apresente todas as ondas incluindo os impulsos às gates dos tirístores).
1. usar a folha **Excel** que obteve no Problema 3;
 2. no relatório deverá justificar todas os cálculos e ondas representadas.

Resumo

resumo

3 Equações

3.1 Corrente Continua Condições iniciais nulas.

3.1.1 Circuito LC em C.C:

- $i(t) = \frac{V_{DC}\sqrt{LC}}{L} \sin\left(\frac{t}{\sqrt{LC}}\right) \times u(t)$
- $V_L(t) = V_{DC} \cos\left(\frac{t}{\sqrt{LC}}\right) \times u(t)$
- $V_C(t) = V_{DC} \left(1 - \cos\left(\frac{t}{\sqrt{LC}}\right)\right) \times u(t)$
- $\omega_n = \frac{1}{\sqrt{LC}}$
- $\bar{Z} = \sqrt{(\omega_n L - \frac{1}{\omega_n C})^2}$
- $\phi_p = \frac{\pi}{2}$
porque, $\sin(\omega_n t) = \cos(\omega_n t - \pi/2)$
- $\tau = \infty$

3.1.2 Circuito RLC em C.C:

1. Para $C(CR^2 - 4L) > 0$ (Raízes reais diferentes) Sobre-amortecido.

- $i(t) = \frac{2V_{DC}Ce^{-\frac{tR}{2L}} \sinh\left(\frac{t\sqrt{C(CR^2-4L)}}{2CL}\right)}{\sqrt{C(CR^2-4L)}} \times u(t)$
- $V_R(t) = R \times i(t)$
- $V_L(t) = L \frac{di(t)}{dt}$

$$L \left(\frac{V_{DC} e^{-\frac{tR}{2L}} \cosh\left(\frac{t\sqrt{C(CR^2-4L)}}{2CL}\right)}{L} - \frac{V_{DC} C R e^{-\frac{tR}{2L}} \sinh\left(\frac{t\sqrt{C(CR^2-4L)}}{2CL}\right)}{L\sqrt{C(CR^2-4L)}} \right)$$

- $V_C(t) = \frac{1}{C} \int_0^t i(t) dt$

$$\frac{2V_{DC} \left(\frac{\sqrt{C^2 R^2 - 4CL}}{2} - \frac{\left(\sqrt{C^2 R^2 - 4CL} \left(e^{\frac{t\sqrt{C^2 R^2 - 4CL}}{CL}} + 1 \right) + C R e^{\frac{t\sqrt{C^2 R^2 - 4CL}}{CL}} - C R \right) e^{-\frac{t\sqrt{C^2 R^2 - 4CL}}{2CL}} - \frac{tR}{2L}}{4} \right)}{\sqrt{C(CR^2-4L)}}$$

2. Para $C(CR^2 - 4L) = 0$ (Raízes iguais) Amortecimento crítico.

- $i(t) = \frac{V_{DC}}{L} t e^{-\frac{Rt}{2L}} \times u(t)$
- $V_R(t) = R \times i(t)$
- $V_L(t) = L \frac{di(t)}{dt}$

$$L \left(\frac{V_{DC} e^{-\frac{tR}{2L}}}{L} - \frac{t V_{DC} R e^{-\frac{tR}{2L}}}{2L^2} \right)$$

- $V_C(t) = \frac{1}{C} \int_0^t i(t) dt$

$$\frac{V_{DC} \left(\frac{4L^2}{R^2} - \frac{(2tLR + 4L^2) e^{-\frac{tR}{2L}}}{R^2} \right)}{CL}$$

3. Para $C(CR^2 - 4L) < 0$ (Raízes complexas) Amortecido.

$$\bullet i(t) = \frac{2V_{DC}Ce^{-\frac{tR}{2L}} \sin\left(\frac{t\sqrt{-C(CR^2-4L)}}{2CL}\right)}{\sqrt{-C(CR^2-4L)}} \times u(t)$$

$$\bullet V_R(t) = R \times i(t)$$

$$\bullet V_L(t) = L \frac{di(t)}{dt}$$

$$L \left(\frac{V_{DC} e^{-\frac{tR}{2L}} \cos\left(\frac{t\sqrt{-C(CR^2-4L)}}{2CL}\right)}{L} - \frac{V_{DC} C R e^{-\frac{tR}{2L}} \sin\left(\frac{t\sqrt{-C(CR^2-4L)}}{2CL}\right)}{L\sqrt{-C(CR^2-4L)}} \right)$$

$$\bullet V_C(t) = \frac{1}{C} \int_0^t i(t) dt$$

$$\frac{2V_{DC}}{\sqrt{-C(CR^2-4L)}} \left(\frac{\sqrt{4CL-C^2R^2}}{2} e^{-\frac{tR}{2L}} \left(C R \sin\left(\frac{t\sqrt{4CL-C^2R^2}}{2CL}\right) + \sqrt{4CL-C^2R^2} \cos\left(\frac{t\sqrt{4CL-C^2R^2}}{2CL}\right) \right) \right)$$

$$\bullet |\omega_n| = \sqrt{\frac{4L-R^2C}{4L^2C}}$$

$$\bullet \bar{Z} = \sqrt{R^2 + (\omega_n L - \frac{1}{\omega_n C})^2}$$

$$\bullet \phi_p = \arctan\left(\frac{\omega_n L - \frac{1}{\omega_n C}}{R}\right)$$

$$\bullet \tau = \frac{2L}{R}$$

3.2 Corrente Alternada condições iniciais nulas.

3.2.1 Circuito RLE em C.A:

$$\bullet i(t) = C_T e^{-\frac{R}{L}t} + \frac{V_{m\acute{a}x}}{\bar{Z}} \sin(\omega t + \alpha - \phi_p) - \frac{E}{R}$$

$$i(t) = C_T e^{-\frac{R}{L}t} + C_1 \cos(\omega t) + C_2 \sin(\omega t) - \frac{E}{R}$$

$$\bullet I(\omega t) = C_T e^{-\frac{R}{L\omega}\omega t} + \frac{V_{m\acute{a}x}}{\bar{Z}} \sin(\omega t + \alpha - \phi_p) - \frac{E}{R}$$

$$\bullet I'(\omega t) = \frac{V_{m\acute{a}x}}{\bar{Z}} \cos(\omega t + \alpha - \phi_p) - \frac{RC_T}{\omega L} e^{-\frac{R}{L\omega}\omega t}$$

$$\bullet \vec{Z} = R + j\omega L$$

$$\bar{Z} = \sqrt{R^2 + (\omega L)^2}$$

$$\bullet \phi_p = \arctan\left(\frac{\omega L}{R}\right)$$

$$\bullet C_T = \frac{E}{R} - \frac{V_{m\acute{a}x}}{\bar{Z}} \sin(\alpha - \phi_p)$$

$$\bullet C_T = \frac{V_{m\acute{a}x}}{R^2 + (\omega L)^2} (L\omega \cos(\alpha) - R \sin(\alpha)) + \frac{E}{R}$$

$$\bullet C_1 = \frac{V_{m\acute{a}x}}{R^2 + (\omega L)^2} (R \sin(\alpha) - L\omega \cos(\alpha))$$

$$\bullet C_2 = \frac{V_{m\acute{a}x}}{R^2 + (\omega L)^2} (R \cos(\alpha) + L\omega \sin(\alpha))$$

3.3 Definições

Definição 1 Capacitância

$$\begin{aligned}Q_c(t) &= \int^t i(t) \, dt \\&= Q_c(0^-) + \int_{0^-}^t i(t) \, dt \\V_c(t) &= \frac{Q_c(t)}{C} \\&= \frac{1}{C} \int^t i_c(t) \, dt \\&= \frac{Q_c(0^-)}{C} + \frac{1}{C} \int_0^t i_c(t) \, dt \\&= V(0^-) + \frac{1}{C} \int_0^t i_c(t) \, dt \\i_c(t) &= C \frac{dV_c(t)}{dt}\end{aligned}$$

Definição 2 Indutância

$$\begin{aligned}\psi_L(t) &= \int^t V_L(t) \, dt \\&= \psi_L(0^-) + \int_{0^-}^t V_L(t) \, dt \\V_L(t) &= L \frac{di_L(t)}{dt} \\i_L(t) &= \frac{\psi_L(t)}{L} \\&= \frac{1}{L} \int^t V_L(t) \, dt \\&= \frac{\psi_L(0^-)}{L} + \frac{1}{L} \int_0^t V_L(t) \, dt \\&= i_L(0^-) + \frac{1}{L} \int_0^t V_L(t) \, dt\end{aligned}$$

Definição 3 Resistência

$$\begin{aligned}V_R(t) &= R \, i_R(t) \\i_R(t) &= \frac{V_R(t)}{R}\end{aligned}$$

Definição 4 Valor Médio

$$X_{av} = \frac{1}{T} \int_0^T X(t) dt$$

Definição 5 Valor Eficaz

$$X_{ef} = \sqrt{\frac{1}{T} \int_0^T X^2(t) dt}$$

Definição 6 *Quadrática*

$$ax^2 + bx + c = 0$$

$$\left(x + \frac{b}{2a}\right)^2 + \frac{4ac - b^2}{4a^2} = 0$$

se $b^2 - 4ac = 0$ (*raízes reais iguais*)

$$x = \frac{-b}{2a} \implies \left(x + \frac{b}{2a}\right)\left(x + \frac{b}{2a}\right) = \left(x + \frac{b}{2a}\right)^2 = 0$$

se $b^2 > 4ac$ (*raízes reais compostas*)

$$x = \frac{-b \pm \sqrt{b^2 - 4ac}}{2a} \implies \left(x + \frac{b - \sqrt{b^2 - 4ac}}{2a}\right)\left(x + \frac{b + \sqrt{b^2 - 4ac}}{2a}\right) = 0$$

se $b^2 < 4ac$ (*raízes compostas imaginarias*)

$$x = \frac{-b \pm j \sqrt{4ac - b^2}}{2a} \implies \left(x + \frac{b - j \sqrt{4ac - b^2}}{2a}\right)\left(x + \frac{b + j \sqrt{4ac - b^2}}{2a}\right) = 0$$

Lista de Figuras

1	Montagem paralela dupla controlada	2
2	Representação das tensões	3

Referências

- [1] *Curso de Introduo ao LATEX*.
- [2] *Electrónica Analógica*. McGraw Hill, 1993.
- [3] *Cálculo Diferencial e Integral em \mathbb{R} e \mathbb{R}^n* . McGraw Hill, 1995.
- [4] *Power Electronic Converter Harmonics*. IEEE Press Editorial Board, 1996.
- [5] *Cálculo Diferencial e Integral*. Lopes da Silva Editora, 1997.
- [6] *electromagnetismo*. McGraw Hill, 1999.
- [7] *Power Electronic Control in Electrical Systems*. Newnes Power Engineering Series, 2002.
- [8] *The Maxima Book*. , 2004.
- [9] *HIGHER ENGINEERING MATHEMATICS*. Published by Elsevier Ltd, 2006.
- [10] *PSIM Users Guide*. Powersim Inc., 2009.
- [11] *Analog and Digital Control System Design: Transfer-Function, State-Space, and Algebraic Methods*. Harcourt Brace Jovanovich College Publishers, .
- [12] *Teach Yourself Electricity and Electronics*. McGraw-Hill, .
- [13] Fidalgo, André: *Sistemas Eléctricos de Corrente Alternada*. Em *Unidade de Ensino 2*.
- [14] Fidalgo, André: *Sistemas Eléctricos de Corrente Contínua*. Em *Unidade de Ensino 1*.

